

Стратификация смазочного материала в радиальных подшипниках скольжения

М.А. Мукутадзе

Ростовский государственный университет путей сообщения

Аннотация: В работе на основе системы уравнений движения вязкой несжимаемой жидкости с учетом зависимости вязкости и проницаемости пористого слоя от давления, для случая «тонкого слоя», уравнений неразрывности и уравнений Дарси, приводится автомодельное решение с использованием функций тока стратифицированного течения смазочного материала в радиальных подшипниках. Предложенные здесь расчетные модели в отличие от существующих с двухслойной стратификацией, дополнительно усложнена наличием анизотропного пористого покрытия на адаптированной к условиям трения опорной поверхности подшипниковой втулки и зависимостью вязкости смазочного материала от давления. Получено аналитическое выражение позволяющее, получить описание стратифицированных двухслойной жидких смазочных материалов и график зависимости влияния структурного параметра и вязкостного отношения стратифицированных слоев на основные эксплуатационные характеристики подшипника. численный анализ зависимостей параметров пластичности и несущей способности подшипника с двойным смазочным слоем.

Ключевые слова: двухслойная смазка, поддерживающая сила, адаптированный профиль, стратифицированное течение, демпфирующие свойства, зависимость вязкости от давления.

Известно, что, при наличии в жидком смазочном материале осадка из частиц присадок или продуктов износа, а также в результате пристеночной адсорбции и хемосорбции на металлических поверхностях контактирующих поверхностей подшипника происходит расслоение смазочных материалов на слои с различными вязкостными свойствами. Течение вязкого стратифицированного несжимаемого смазочного материала в зазоре упорного и радиального подшипников рассматривалось в работах [1-6]. Существенным недостатком этих работ является то, что в расчетной модели не учитывается зависимость вязкости от давления. При больших значениях давления в смазочном слое вязкость смазочного материала существенно возрастает и возникает необходимость учета зависимости вязкости от давления [7-15].

Рассматривается установившееся течение двухслойной вязкой несжимаемой жидкости в зазоре радиального подшипника бесконечной длины с круговой опорной поверхностью. Подшипниковая втулка неподвижна, а вал вращается с угловой скоростью Ω . Поверхность вала имеет пористое покрытие, сообщающее демпфирующие свойства узлу трения. Зависимость вязкости от давления, а также проницаемости пористого покрытия от давления выражается следующими экспоненциальными зависимостями:

$$\mu'_i = \mu_{0i} e^{\bar{\alpha}^* p'}, \quad k' = k_0 e^{\bar{\alpha}^* p'}. \quad (1)$$

Здесь μ_{0i} – характерные вязкости в смазочных слоях; k_0 – характерная проницаемость пористого слоя; $\bar{\alpha}^*$ – экспериментальная постоянная.

В полярной системе координат, полюс которой расположен в центре вала, уравнения контуров вала, границы раздела слоев и контура подшипника запишутся в следующем виде (рис. 1):

$$\begin{aligned} r' &= r_0 + H, \quad r' = r_0 + H + \delta\alpha + \alpha e \cos\theta, \\ r' &= r_2 + e \cos\theta, \quad \alpha \in [0, 1], \quad \delta = r_2 - r_0 - H, \end{aligned} \quad (2)$$

где $r_0 + H$ – радиус вала с пористым слоем на его рабочей поверхности; H – толщина пористого слоя; e – эксцентриситет; r_2 – радиус втулки; $r_0 + H + \delta\alpha$ – радиус границы радиальных слоев.

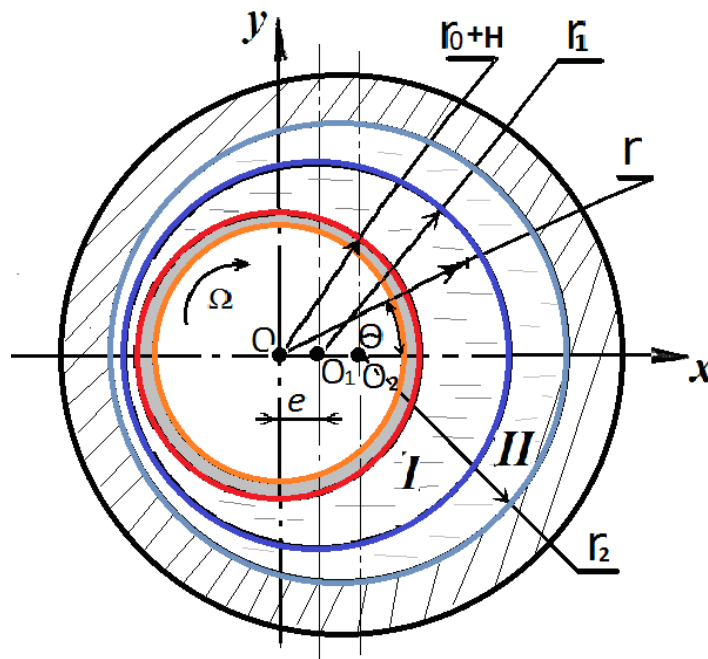


Рис. 1. Расчетная схема

Исходные уравнения и граничные условия

В качестве основных зависимостей выбираем безразмерную систему уравнений движения вязкой несжимаемой жидкости с учетом зависимости вязкости от давления для случая «тонкого слоя», уравнение неразрывности и уравнение Дарси, причем учитывается зависимость проницаемости пористого слоя от давления

$$\frac{\partial^2 v_i}{\partial r^2} = e^{-\bar{\alpha} p} \Lambda_i \frac{dp}{d\theta}, \quad \frac{\partial u_i}{\partial r} + \frac{\partial v_i}{\partial \theta} = 0 \quad (i=1,2), \quad \frac{\partial^2 P}{\partial r^{*2}} + \frac{1}{r^*} \frac{\partial P}{\partial r^*} + \frac{\partial^2 P}{r^{*2} \partial \theta^2} + \frac{\tilde{\alpha}}{r^{*2}} \left(\frac{\partial P}{\partial \theta} \right)^2 = 0. \quad (3)$$

Здесь в смазочном слое размерные величины r' , v'_i , u'_i , p' , μ'_i связаны со стандартизированными r , v_i , u_i , p , μ_i следующими соотношениями:

$$r' = r_0 + H + \delta r, \quad v'_i = \Omega r_0 v_i, \quad u'_i = \Omega \delta u_i, \quad p' = p_g p. \quad (4)$$

Для слоя пористого материала переход к стандартизированным переменным осуществляется по формулам

$$r' = (r_0 + H) r^*, \quad k' = k_0 k, \quad P' = p_g \cdot P. \quad (5)$$

Здесь u'_i, v'_i – компоненты вектора скорости смазки; p' – гидродинамическое давление, возникающее в смазочных слоях; p_g – характерное давление; k' – проницаемость пористого слоя; P' –

гидродинамическое давление в пористом слое; Ω – угловая скорость вращения вала; функция $\Lambda_i = \frac{\delta^2 p_g}{\mu_i \Omega (r_0 + H)^2}$.

Решение системы уравнений (7.5.3) будем искать при классических граничных условиях:

$$\begin{aligned} v_1|_{r=0} = 1, \quad u_1|_{r=0} = -N \frac{\partial P}{\partial y^*} \Big|_{y^*=1}, \quad u_2 = 0, \quad v_2 = 0 \quad \text{при } r = h(\theta); \\ p = P \Big|_{r^*=1}, \quad p(0) = p(2\pi) = 1, \quad u_1 = u_2, \quad v_1 = v_2, \\ \frac{u_i}{v_i} = \alpha h'(\theta) \quad \text{при } r = \alpha h(\theta); \quad \frac{\partial v_1}{\partial r} = \frac{\mu_{02}}{\mu_{01}} \frac{\partial v_2}{\partial r} \quad \text{при } r = \alpha h(\theta); \\ \frac{\partial P}{\partial r^*} = 0 \quad \text{при } r^* = \frac{r_0}{r_0 + H}, \quad N = \frac{k_0 p_g}{\mu_{01} \Omega \delta (r_0 + H)}. \end{aligned} \quad (6)$$

Точное автомодельное решение

Точное автомодельное решение системы (3), удовлетворяющее граничным условиям (6), будем искать в виде

$$\begin{aligned} u_i = \frac{\partial \psi_i}{\partial \theta} + U_i(r, \theta), \quad v_i = \frac{\partial \psi_i}{\partial r} + V_i(r, \theta), \\ \psi_i = \bar{\psi}_i(\xi), \quad \psi_2 = \bar{\psi}_2(\xi), \quad U_1 = \tilde{u}(\xi) \eta \sin \theta, \\ U_1 = \tilde{v}(\xi), \quad U_2 = \tilde{u}(\xi) \eta \sin \theta, \quad V_2 = \tilde{v}(\xi), \quad \xi = \frac{r}{h}, \\ \frac{\Lambda_1}{e^{\bar{a}p}} \frac{dp}{d\theta} = \frac{\bar{e}_1}{h^2(\theta)} + \frac{\bar{e}_2}{h^3(\theta)}, \quad \frac{\Lambda_2}{e^{\bar{a}p}} \frac{dp}{d\theta} = \frac{\bar{e}_1}{h^2(\theta)} + \frac{\bar{e}_2}{h^3(\theta)}, \end{aligned}$$

где $\bar{e}_1 = \frac{\mu_{02}}{\mu_{01}} \bar{e}_1$, $\bar{e}_2 = \frac{\mu_{02}}{\mu_{01}} \bar{e}_2$. (7)

Подставляя (7) в (3) и (6), получим

$$\begin{aligned} \bar{\psi}_1''' = \bar{e}_2, \quad \bar{\psi}_2''' = \bar{e}_2, \quad \tilde{u}' + \xi \tilde{v}' = 0, \quad \tilde{v}'' = \bar{e}_1, \quad \tilde{v}''' = \bar{e}_1, \quad \tilde{u}' + \xi \tilde{v}' = 0, \\ \tilde{u}(\alpha) = \tilde{u}(\alpha), \quad \tilde{v}(\alpha) = \tilde{v}(\alpha), \quad \bar{\psi}'(\alpha) = \bar{\psi}'(\alpha), \\ \tilde{u}_1(0) = \frac{-N}{r_0 + H}, \quad \tilde{v}(0) =, \quad \bar{\psi}'(0) = 0, \quad \tilde{u}(1) = 0, \quad \tilde{v}(1) = 0, \end{aligned} \quad (8)$$

$$\begin{aligned} \Psi(1) = 0, \quad \int_0^{\alpha} \tilde{v}(\xi) d\xi + \int_{\alpha}^1 \tilde{v}(\xi) d\xi = \beta^* = -N \frac{\partial P}{\partial y^*} \Big|_{y^*=1}, \\ \tilde{v}'(\alpha) = \frac{\mu_{02}}{\mu_{01}} \tilde{v}'(\alpha), \quad \Psi''(\alpha) = \frac{\mu_{02}}{\mu_{01}} \alpha \Psi''(\alpha). \end{aligned} \quad (9)$$

Решение задачи (8) и (9) можно записать в виде

$$\begin{aligned} \Psi' &= e_2 \frac{\xi^2}{2} + c_2 \xi + c_3, \quad \tilde{v}(\xi) = e_1 \frac{\xi^2}{2} + c_6 \xi + c_7, \\ \Psi' &= e_2 \frac{\xi^2}{2} + c_4 \xi + c_5, \quad \tilde{v}(\xi) = e_1 \frac{\xi^2}{2} + c_8 \xi + c_9, \\ \tilde{u}(\xi) &= -e_1 \frac{\xi^3}{3} - c_6 \frac{\xi^2}{2} + c_{10}, \quad \tilde{u}(\xi) = -e_1 \frac{\xi^3}{3} - c_8 \frac{\xi^2}{2} + c_{11}, \\ \Lambda_1 e^{\alpha p} &= \Lambda_1 e^{\alpha} - \alpha [J_2(\theta) e_1 + J_3(\theta) e_2], \\ \Lambda_2 e^{\alpha p} &= \Lambda_2 e^{\alpha} - \alpha [J_2(\theta) e_1 + J_3(\theta) e_2]. \end{aligned} \quad (10)$$

Определение гидродинамического давления

С точностью до членов $0(\eta^2), 0(\alpha^2)$ для определения гидродинамического давления в смазочном слое приходим к уравнению

$$\tilde{\alpha} p^2 - 2p + 2 - \tilde{\alpha} + \frac{2}{\Lambda_1} (e_1 J_2(\theta) + e_2 J_3(\theta)) = 0. \quad (11)$$

Решая это уравнение в принятом нами приближении, для p окончательно получим следующее выражение:

$$p = 1 + \left(1 + \frac{\alpha}{2}\right) \frac{e_1}{\Lambda_1} \eta \sin \theta \quad \text{или} \quad p = 1 + \left(1 + \frac{\alpha}{2}\right) \frac{e_1}{\Lambda_2} \eta \sin \theta. \quad (12)$$

Для определение гидродинамического давления в пористом слое будем искать решение уравнения Дарси (полного уравнения системы (3) с учетом (12) в виде

$$P = 1 + R(r^*) \left[\left(1 + \frac{\alpha}{2}\right) \frac{e_1}{\Lambda_1} \eta \sin \theta \right]. \quad (13)$$

Тогда для $R(r^*)$ получим следующее уравнение:

$$R'' + \frac{R'}{r^*} - \frac{R}{r^{*2}} = 0, \quad R(1) = 1, \quad R' \left(\frac{r_0}{r_0 + H} \right) = 0. \quad (14)$$

После двукратного интегрирования для $R(r^*)$ окончательно получим выражение

$$R = \frac{r^*}{1 + \left(\frac{r_0}{r_0 + H} \right)^2} + \frac{\left(\frac{r_0}{r_0 + H} \right)^2}{r^* \left(1 + \frac{r_0}{r_0 + H} \right)^2}. \quad (15)$$

Используя граничные условия (9), а также (15) для определения постоянных интервалов, входящих в выражения (10), и констант $\bar{c}_1, \bar{c}_1, \bar{c}_2, \bar{c}_2$, приходим к следующей алгебраической системе 14 уравнений с 14 неизвестными:

$$\begin{aligned} c_7 = 1, \quad c_{10} = \beta^* = -NR'(1), \quad c_3 = 0, \\ -\frac{\bar{c}_3}{3} - \frac{c_8}{2} + c_{11} = 0, \quad \frac{\bar{c}_1}{2} + c_8 + c_9 = 0, \quad \frac{\bar{c}_2}{2} + c_4 + c_5 = 0, \\ \bar{c}_1 = \frac{\mu_{02}}{\mu_{01}} \bar{c}_1, \quad \bar{c}_2 = \frac{\mu_{02}}{\mu_{01}} \bar{c}_2, \quad \bar{c}_1 + \bar{c}_2 = 0, \\ \frac{\bar{c}_1 \alpha^3}{6} + \frac{c_6 \alpha^2}{2} + c_7 \alpha - \bar{c}_1 \frac{\alpha^3}{6} - c_8 \frac{\alpha^2}{2} - c_9 \alpha + \bar{c}_1 \frac{1}{6} + c_8 \frac{1}{2} + c_9 = J^{3*}, \\ \frac{\bar{c}_2}{2} \alpha^2 + c_2 \alpha + c_3 - \frac{\bar{c}_2}{2} \alpha^2 - c_4 \alpha + c_5 = 0, \\ \bar{c}_1 \alpha + c_6 = \frac{\mu_{02}}{\mu_{01}} \left[\bar{c}_1 \alpha + c_8 \right], \quad \frac{\bar{c}_1}{2} \alpha^2 + c_6 \alpha + c_7 - \frac{\bar{c}_1}{2} \alpha^2 - c_8 \alpha + c_9 = 0, \\ \bar{c}_2 \alpha + c_2 \frac{\mu_{02}}{\mu_{01}} \left[\bar{c}_2 \alpha + c_4 \right]. \end{aligned} \quad (16)$$

Решение системы (16) сводится к решению матричного уравнения

$$M \vec{x} = \vec{b}, \quad (17)$$

где $\vec{x} = \left\{ \bar{c}_1; c_4; c_5; c_8; c_9 \right\}$, $\vec{b} = \{0, 0, -6\alpha, 0, -2\}$,

$$M = \begin{pmatrix} -1 & 2 & 2 & 0 & 0 \\ 1 & 0 & 0 & 2 & 2 \\ k\alpha^3 - \alpha^3 + 1 + 6\beta^* & 0 & 0 & 3k\alpha^2 - 3\alpha + 3 & 6 - 6\alpha \\ -(k-1)\alpha^2 & 2\alpha(k-1) & -2 & 0 & 0 \\ (k-1)\alpha^2 & 0 & 0 & 2\alpha(k-1) & -2 \end{pmatrix}.$$

Решая матричное уравнение (17), будем иметь

$$\bar{c}_1 = \frac{6(-\alpha^2 + 1 + k\alpha^2)}{\Delta}, \quad \bar{c}_8 = \frac{-4(k\alpha^3 - \alpha^3 - 3\beta^* + 1)}{\Delta}, \quad \bar{c}_4 = \frac{3(-\alpha^2 + 1 + k\alpha^2)^2}{\Delta(-\alpha + 1 + k\alpha)},$$
$$\bar{c}_9 = \frac{3\alpha^2 + 1 - 3k\alpha^2 + 4k\alpha^3 - 4\alpha^3 - 12\beta^*}{\Delta}, \quad \bar{c}_5 = \frac{-3(-\alpha^2 + 1 + k\alpha^2)\alpha(1 - k - \alpha + \alpha k)}{\Delta(-\alpha + 1 + k\alpha)},$$

$$\Delta = 1 - 4\alpha + 6\alpha^2 - 6k\alpha^2 + 4k\alpha^3 - 4\alpha^3 - 12\beta^* - 2k\alpha^4 + k^2\alpha^4 + 4\alpha k + 12\beta^*\alpha + \alpha^4 - 12\beta^*\alpha k.$$

С точностью до членов $O(\eta^2), O(\alpha^2)$ для определения гидродинамического давления приходим к следующему уравнению:

$$\alpha p^2 - 2p + 2 - \alpha + \frac{2}{\Lambda_1}(\bar{c}_1 J_2(\theta) + \bar{c}_2 J_3(\theta)) = 0.$$

Решая это уравнение в принятом нами приближении, получим следующее выражение для p :

$$p = 1 + \left(1 + \frac{\alpha}{2}\right) \frac{1}{\Lambda_1}(\bar{c}_1 J_2(\theta) + \bar{c}_2 J_3(\theta)), \quad \bar{c}_2 = -\bar{c}_1,$$

или

$$p = 1 + \left(1 + \frac{\alpha}{2}\right) \frac{1}{\Lambda_2}(\bar{c}_1 J_2(\theta) + \bar{c}_2 J_3(\theta)), \quad \bar{c}_2 = -\bar{c}_1. \quad (18)$$

Воздействие смазки на вал

Равнодействующая гидродинамических сил, возникающих в смазочном слое, приведена к центру вала O . Компоненты главного вектора этих сил, отнесенные к единице длины вала и главного момента, запишем в следующей форме:

$$R_x = r_0 \int_0^{2\pi} (P_{rr} \cos \theta - P_{r\theta} \sin \theta) d\theta, \quad R_y = r_0 \int_0^{2\pi} (P_{rr} \sin \theta + P_{r\theta} \cos \theta) d\theta,$$

$$L_{\text{тр}} = r_0^2 \int_0^{2\pi} P_{r\theta} d\theta. \quad (19)$$

Значения P_{rr} и $P_{r\theta}$ берутся на поверхности вала, т. е. при $r = r_0$

$$P_{rr} \Big|_{r=r_0} = \left(-P_1 + 2\mu_1 \frac{\partial v_{r_1}}{\partial r} \right)_{r=r_0}, \quad P_{r\theta} \Big|_{r=r_0} = \mu_1 \left(\frac{\partial v_{r_1}}{\partial \theta} + \frac{\partial v_{\theta_1}}{\partial r} - \frac{v_{\theta_1}}{r} \right)_{r=r_0}.$$

$$R_y = p_g r_0 \int_0^{2\pi} p \sin \theta d\theta = -\frac{p_g r_0 c_1}{2\Lambda_1} \left(1 + \frac{\alpha}{2} \right),$$

$$L_{\text{тр}} = \frac{r_0^2 \mu}{\delta} + \Omega r_0 \int_0^{2\pi} \left(\frac{\Psi''(0)}{h^2} + \frac{\tilde{v}'(0)}{h} \right) e^{\alpha \varphi} d\theta. \quad (20)$$

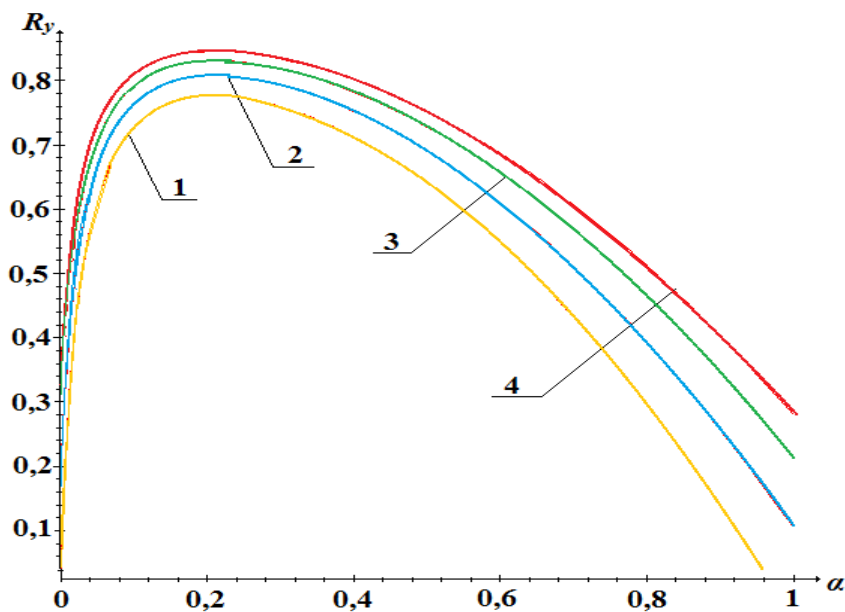


Рис. 2. Зависимость безразмерной поддерживающей силы R_y от структурного

параметра α : 1 – $\frac{k_2}{k_1} = 1$; 2 – $\frac{k_2}{k_1} = 1,1$; 3 – $\frac{k_2}{k_1} = 1,2$; 4 – $\frac{k_2}{k_1} = 1,3$

Итоги численного анализа аналитических выражений (20) для основных эксплуатационных характеристик показывают:

- описание стратифицированных двухслойной жидких смазочных материалов, приводит к необходимости изучения влияния структурного параметра α и вязкостного отношения k на основные эксплуатационные

характеристики подшипника, прежде всего на поддерживающую силу и силу трения;

- поддерживающая сила R_y , существенно зависит от параметра α и вязкостных отношений $\frac{k_2}{k_1}$.

Литература

1 Ахвердиев, К.С. Гидродинамический расчёт подшипников скольжения с использованием моделей слоистого течения вязкой и вязкопластичной смазки // Трение и износ, 1998. Т. 16, № 6. С. 698–707.

2 Ахвердиев, К.С. Математическая модель стратифицированного течения смазки в зазоре радиального мегаллополимерного подшипника скольжения // Проблемы машиностроения и надежности машин. РАН. – М.: Наука, 1999, № 3. С. 93–101.

3. Семенко, И.С. Гидродинамический расчет упорного подшипника на вязкоупругой смазке при наличии пористого слоя на одной из сопряженных поверхностей / И.С. Семенко, Е.Е. Александрова // Тр. ВНИПК «Транспорт-2009». Ростов н/Д: РГУПС, 2009. Ч. 2. С. 271–272.

4. Прокопьев, В.Н. Динамика ротора на подшипниках с двумя и тремя смазочными слоями / В.Н. Прокопьев, В.Г. Караваев, Е.А. Задорожная и др.// Труды международного научного симпозиума «Гидродинамическая теория смазки – 120 лет». Орел. 2006. С. 436–446.

5. Gear, Charles William, and C. William Gear. *Numerical initial value problems in ordinary differential equations*. Vol. 59. Englewood Cliffs, NJ: Prentice-Hall, 1971. 253 p.

6. Reynolds, O. (1886). On the Theory of Lubrication and Its Application to Mr. Beauchamp Tower's Experiments, Including an Experimental Determination of the Viscosity of Olive Oil. *Proceedings of the Royal Society of London*, 40(242-245), Pp.191-203.

7. Александрова, Е.Е. Стратифицированное течение трехслойной смазки в зазоре упорного подшипника, обладающего повышенной несущей способностью и демпфирующими свойствами // Труды РГУПС, 2011. № 1 (15). С. 14–21.

8. Ахвердиев, К.С. Разработка расчетной модели с учетом зависимости вязкости и проницаемости пористого слоя от давления трехслойной смазки упорного подшипника, обладающего повышенной несущей способностью и демпфирующими свойствами // Трение и смазка в машинах и механизмах. 2014, №3. С.10-16.

9. Эркенов, А.Ч. Расчетная модель двухслойного пористого подшипника конечной длины с учетом анизотропии пористых слоев и нелинейных факторов // Вестник ДГТУ, 2014. Т.14. № 1(76). С. 191-199.

10. Ахвердиев, К.С. Расчетная модель с учетом зависимости вязкости от давления двухслойной гидродинамической смазки радиального подшипника с круговой опорной поверхностью // Изв. выс. учеб. зав. Сев.-Кав. регион. 2014, № 1. С. 71-74.

11. Мукутадзе, М.А. Расчетная модель с учетом зависимости вязкости и проницаемости пористого слоя от давления трехслойной гидродинамической смазки радиального подшипника, обладающего повышенной несущей способностью и демпфирующими свойствами //Инженерный вестник Дона, 2014, №2 URL: ivdon.ru/magazine/archive/n2y2014/2324.

12. Мукутадзе, М.А. Расчетная модель гидродинамической смазки неоднородного пористого подшипника конечной длины, работающего в устойчивом нестационарном режиме трения при наличии принудительной подачи смазки //Инженерный вестник Дона, 2013, №3 URL: ivdon.ru/magazine/archive/n3y2013/1765.

13. Ахвердиев, К.С. Разработка расчетной модели с учетом зависимости вязкости от давления двухслойной гидродинамической смазки упорного подшипника, обладающего повышенной несущей способностью и демпфирующими свойствами // Тр. VII Всерос. конф. по механике деформируемого твердого тела – Ростов н/Д : ЮФУ. НИИМиПМ им. И.И. Воровича, ЮНЦ РАН, 2013, Т. 1. С. 32–35.

14. Ахвердиев, К.С. Расчетная модель с учетом зависимости вязкости и проницаемости от давления двухслойной смазки радиального подшипника, обладающего повышенной несущей // III Международная научно-практическая конференции Наука в современном информационном обществе: Noth Charleston, USA – 2014 г. С. 92 – 98.

15 Ахвердиев, К.С. Математическая модель двухслойной гидродинамической смазки упорного подшипника // Математическое моделирование и биомеханика в современном университете: Тез. докл. VIII Всерос. шк. - сем. 27–31 мая 2013, пос. Дивноморск. – Ростов н/Д, 2013. С. 13.

References

- 1 Ahverdiev, K.S. *Trenie i iznos*. 1998. V. 16, № 6. pp. 698–707.
- 2 Ahverdiev, K.S. *Problemy mashinostroenija i nadezhnosti mashin*. RAN. M.: Nauka, 1999. № 3. pp. 93–101.
3. Semenko, I.S. *Tr. VNPК «Transport-2009»*. Rostov n/D : RGUPS, 2009. P. 2. pp. 271–272.
4. Prokop'ev, V.N. *Trudy mezhdunarodnogo nauchnogo simpoziuma «Gidrodinamicheskaja teorija smazki – 120 let»*. Orel. 2006. pp. 436–446.
5. Gear, Charles William, and C. William Gear. *Numerical initial value problems in ordinary differential equations*. Vol. 59. Englewood Cliffs, NJ: Prentice-Hall, 1971. 253 p.



6. Reynolds, O. (1886). On the Theory of Lubrication and Its Application to Mr. Beauchamp Tower's Experiments, Including an Experimental Determination of the Viscosity of Olive Oil. *Proceedings of the Royal Society of London*, 40 (242-245), pp.191-203.
7. Aleksandrova, E.E. Trudy RGUPS, 2011. № 1 (15). pp. 14–21.
8. Ahverdiev, K.S. Trenie i smazka v mashinah i mehanizmah. 2014. №3. pp.10-16.
9. Jerkenov, A.Ch. Vestnik DGTU. 2014. V.14. № 1(76). pp. 191-199.
- 10 Ahverdiev, K.S. Izv. vys. ucheb. zav. Sev.-Kav. region. 2014. № 1. pp. 71-74.
11. Mukutadze, M.A. Inzhenernyj vestnik Dona (Rus), 2014, №2 URL: ivdon.ru/magazine/archive/n2y2014/2324.
12. Mukutadze, M.A. Inzhenernyj vestnik Dona (Rus), 2013, № 3 URL: ivdon.ru/magazine/archive/n3y2013/1765.
13. Ahverdiev, K.S. Tr. VII Vseros. konf. po mehanike deformiruемого твердого tela – Rostov n/D : JuFU. NIIMiPM im. I.I. Vorovicha, JuNC RAN, 2013. V. 1. pp. 32–35.
14. Ahverdiev, K.S. III Mezhdunarodnaja nauchno-prakticheskaja konferencii Nauka v sovremennom informacionnom obshestve: Noth Charleston, USA. 2014. pp. 92 – 98.
15. Ahverdiev, K.S. Matematicheskoe modelirovanie i biomehanika v sovremennom universitete: Tez. dokl. VIII Vseros. shk.-sem. 27–31 maja 2013, pos. Divnomorsk. Rostov n/D, 2013. pp. 13.

